

## VIŞNE VE NAR SUYU VE KONSANTRATLARINDA ANTOSİYANİNLERİN DEGRADASYONU

### DEGRADATION OF ANTHOCYANINS IN SOUR CHERRY AND POMEGRANATE JUICE AND CONCENTRATES

Narmela ASAFL, Bekir CEMEROĞLU

Ankara Üniversitesi Ziraat Fakültesi, Gıda Mühendisliği Bölümü ANKARA

**ÖZET:** Nar ve vişne suyu konsantratlarında antosiyaninlerin parçalanması üzerine sıcaklığın etkisi incelenmiştir.  $70^{\circ}\text{Bx}$ lik konsantratlardan  $45^{\circ}\text{Bx}$  ve  $15^{\circ}\text{Bx}$  lik örnekler hazırlanarak  $-18^{\circ}\text{C}$ ,  $5^{\circ}\text{C}$ ,  $20^{\circ}\text{C}$  ve  $37^{\circ}\text{C}$  depolanmıştır. Depolanma süresince, sıcaklık dercesine bağlı olarak değişik aralıklarla alınan örneklerde antosiyenin kaybı saptanarak parçalanma hızı incelenmiştir. Elde edilen bulgulara göre antosiyenlerin parçalanması birinci dereceden bir reaksiyon kinetigine göre gelişmektedir. Tüm örneklerde bekleniği gibi sıcaklık derecesi yükseldikçe antosiyenlerin degradasyon hızları artmaktadır. Örneğin  $15^{\circ}\text{Bx}$ lik vişne suyunda  $-18^{\circ}\text{C}$ de hız konsantı  $k=0.534 \times 10^{-3} \text{ gün}^{-1}$  olduğu halde,  $37^{\circ}\text{C}$ de  $k= 184 \times 10^{-3} \text{ gün}^{-1}$  e yükselmiştir. Aynı şekilde  $15^{\circ}\text{Bx}$ lik vişne suyunda  $-18^{\circ}\text{C}$ de hız konsantı  $k= 0.203 \times 10^{-3} \text{ gün}^{-1}$  olduğu halde  $37^{\circ}\text{C}$ de  $k= 94 \times 10^{-3} \text{ gün}^{-1}$  e yükselmiştir. Ayrıca reaksiyonun sıcaklığa bağımlılığı, Arrhenius eşitliğinden yararlanarak açıklanmaya çalışılmıştır.

Nar suyu ve konsantratlarında antosiyenlerin degradasyon hızı, vişne suyu ve konsantratlarında olduğundan daha yüksektir. Böylece nar suyu ve konsantratlarında depolama süresince sıcaklığa bağlı olarak hızla renk kaybı oluşmaktadır. Ayrıca doğal briksindeki vişne suyunda antosiyenler, konsantratlarda olduğundan daha stabil olduğu halde nar suyunda bunun aksine konsantratlardaki antosiyenlerin daha stabil olduğu anlaşılmaktadır.

**Anahtar kelimeler:** Nar suyu, vişne suyu, antosiyen degradasyonu, kinetik

**ABSTRACT:** The effect of temperature on the degradation of anthocyanins in sour cherry and pomegranate juice samples was investigated. The samples of  $45^{\circ}$  and  $15^{\circ}\text{Bx}$  were prepared from the concentrate of  $70^{\circ}\text{Bx}$  and stored at  $-18^{\circ}\text{C}$ ,  $5^{\circ}\text{C}$ ,  $20^{\circ}\text{C}$  and  $37^{\circ}\text{C}$ . During storage, the rate of anthocyanin degradation was investigated by determining the loss of anthocyanins in the samples taken at different time intervals depending on storage temperature.

According to the experimental results the degradation of anthocyanins was fitted to first order reaction model. As expected, the rate of anthocyanin degradation increased by increasing the temperature. For instance, although the rate constant  $k= 0.534 \times 10^{-3} \text{ day}^{-1}$  at  $-18^{\circ}\text{C}$  in pomegranate of  $15^{\circ}\text{Bx}$ , it increased to  $k= 184 \times 10^{-3} \text{ day}^{-1}$  at  $37^{\circ}\text{C}$ . In the same way, although the rate constant  $k= 0.203 \times 10^{-3} \text{ day}^{-1}$  at  $-18^{\circ}\text{C}$  in sour cherry, it increased to  $k= 94 \times 10^{-3} \text{ day}^{-1}$  at  $37^{\circ}\text{C}$ . The Arrhenius equation was used to describe the dependence of reaction on temperature.

The degradation rate of anthocyanins in pomegranate juice and concentrats is higher than that of sour cherry samples. Therefore a rapid discoloration occurs in pomegranate juice and concentrats depending on temperature during storage.

Moreover, although anthocyanins of sour cherry juice at its natural brix are more stable than those of its concentrats, anthocyanins of pomegranate juice concentrates are more stable as compared to those of pomegranate juice.

**Key Words:** Pomegranate juice, sour cherry juice, anthocyanin degradation, kinetics

### GİRİŞ

Bilindiği gibi antosiyenler bitkisel pigmentlerin en önemli grubunu oluşturmaktadır. Bitkilerin hücre özsütündə bulunan antosiyenler birçok meyve sebze ve çiçeğe kendine özgü pembe, kırmızı, mavi, viole ve mor renklerini verir (TSUDA ve ark. 1994). Meyvelerde farklı miktar ve farklı türde antosiyenler bulunmaktadır. Bir meyvenin rengi, içeriğindeki antosiyenlerin kompozisyonu ve toplam miktarına bağlıdır. Ancak her meyvede bulunan birçok antosiyeninden çoğu kez birisi daha hakim antosiyenidir. Çizelge 1'de bazı meyvelerde bulunan antosiyenler gösterilmiştir (DU ve ark. 1975). Vişne ve nar sularının en önemli benzerlikleri antosiyenince zengin olmaları ve koyu kırmızı viole renkli meyve suyu vermeleridir. Ancak bu pigmentlerin stabilitesi oldukça sınırlı olup meyve sularında önemli düzeyde antosiyen kaybı oluşmaktadır. Bu nedenle gerek üretim sırasında ve ge-

rekse daha sonraki depolama aşamasında rengin korunması önemli bir sorundur. Oluşan renk kaybında başlıca etkenler, sıcaklık, ışık, oksijen ve ortamda bulunan askorbik asit, şekerler ve şekerlerin parçalanma ürünleri ile enzimlerdir (MARKAKIS ve ark. 1982). CEMEROĞLU ve ark. (1994) +5°C de depolanmış vişne suyu konsantratlarında antosianinlerin yarı ömrü süresinin 356 gün olduğunu, ancak depolama sıcaklığının 20°C'ye çıkarılmasıyla yarı ömrü süresinin çarpıcı bir şekilde 38 güne düşüğünü belirlemiştir. Aynı şekilde antosianinice zengin olan cranberry suyu kokteylinde renk kaybı için yarı ömrü süresi -18°C de 210 gün, 21°C 112 gün ve 36°C 86 gün olarak belirlenmiştir (TOLEDO, 1986).

Antosianinlerin parçalanmasına neden olan etkenler tüm antosianinlere aynı düzeyde etkili değildir. Bu hususta antosianinin kimyasal yapısının önemli rol oynadığına kuşku yoktur (DARAVINGAS ve CAIN, 1968). Antosianinin bulunduğu ortam, onun stabilitesi üzerine etkili diğer önemli bir faktördür. Bu nedenle çeşitli meyvelerdeki aynı tür antosianinlerin ısı stabilitesi oldukça farklıdır (NEHRING, 1969). Ancak antosianinlerin parçalanması ve dolayısıyla kaybına en etkili faktörün sıcaklığı olduğuna kuşku yoktur.

İşte bu çalışmada şişelenmiş vişne ve nar sularında farklı sıcaklıklarda oluşan antosianin kayipları belirlenmiş ve söz konusu pigmentin degradasyon kinetiği, reaksiyonu karakterize eden çeşitli katsayılar hesaplanarak ortaya konulmuştur. Elde edilmiş olan sonuçların vişne ve nar sularında renk kaybını en aza indirgeyecek depolama koşullarının belirlenmesinde temel teşkil edeceği düşünülmektedir.

**Çizelge 1. Bazı Meyvelerin İçerdikleri Antosianinler (WROLSTAD, 1976)**

Meyveler	Antosianinler	Kaynak
Bögürtlen	Cyd-3-glu Cyd-3-rut	Barritt ve Torre (1973)
Frenk üzümü, siyah	Cyd-3-rut Dpd-3-rut Cyd-3-glu	Chandler ve Harper (1962)
Ahududu, siyah	Cyd-3-xylrut Cyd-3-rut Dpd-3-sam Cyd-3-glu	Barritt ve Torre (1973) Nybom (1968)
Çilek	Pgd-3-glu Cyd-3-rut	Robinson ve Robinson (1932) Lugton ve ark. (1955)
Kiraz	Cyd-3-rut Cyd-3-glu pnd-3-rut pnd-3-glu	Lynn ve Luh (1964)
Vişne	Cyd-3-2-glurut Cyd-3-rut Cyrd-3-soph Cyd-3-glu Pnd-3-rut	Fisher ve von Elbe (1970)
Erik	Cyd-3-glu Cyd-3-rut Pnd-3-rut Pnd-3-glu	Van Buren (1970)

Cyd: Cyanidin

Soph: Sophorose

Glu: Glukoz

Dpd: Delphinidin

Rut: Rutinose

Sam: Sambubiose

Pnd: Peonidin

Xyl: Xylose

## MATERIAL VE YÖNTEM

Araştırmada, Asya meye suyu fabrikasından temin edilmiş 70°Bx vişne suyu kullanılmıştır. Nar suyu konsantratı ise, antosyanince zengin narlardan elde edilmiş, meye suyunun rotary evaporatörde 70°Bx'e konsantre edilmesiyle bizzat tarafımızdan hazırlanmıştır. Bu şekilde sağlanmış 70°Bx'lik vişne ve nar suyu konsantratlarının bir kısmı damitik su eklenerken 45°Bx ve 15°Bx'e ayarlanmıştır 70°Bx, konsantratların genellikle üretildiği briks derecesini, 45°Bx yarı konsantratların briks derecesini, 15°Bx ise doğal meye suyunun briks derecesini temsil etmek üzere seçilmiştir. Böylece araştırmada, 70°Bx, 45°Bx, 15°Bx nar ve vişne suyu ve konsantratı olmak üzere 6 örnekle çalışılmıştır. 45°Bx, 15°Bx'lik olanlar cam şıklere doldurulup pastörize edildikten sonra 18°C, 5°C, 20°C, 37°C ve farklı sürelerde depolanmıştır. Depolanma süresinde sıcaklık derecesine bağlı olarak farklı aralıklarla örnekler analiz edilmiştir. Antosyanin tayini FULEKI ve FRANCIS (1968) tarafından ortaya konmuş pH differansiyel metoduna göre yapılmıştır. Antosyanin miktarı vişne suyunda; siyanidin-3 rutinosit cinsinden (MW = 595.2, e = 28800) nar suyunda; siyanidin-3 glu. cinsinden (MW = 445.2, e = 29600) hesaplanmıştır. Absorbans okumaları vişne suyunda  $\lambda = 517 \text{ nm}$ , nar suyunda  $\lambda = 513 \text{ nm}$ 'de yapılmıştır.

## ARAŞTIRMA BULGULARI VE TARTIŞMA

Çeşitli koşullarda belli süreler sonunda nar ve vişne suyu örneklerinde kalan antosyaninin yüzde oranı belirlenerek, sonuçlar aşağıda verilmiş olan birinci dereceden hız fonksiyonu ile analiz edilmiştir.

$$\frac{C}{C_0} = e^{-kt} \quad \text{veya} \quad \log \frac{C}{C_0} = -\frac{kt}{2.303}$$

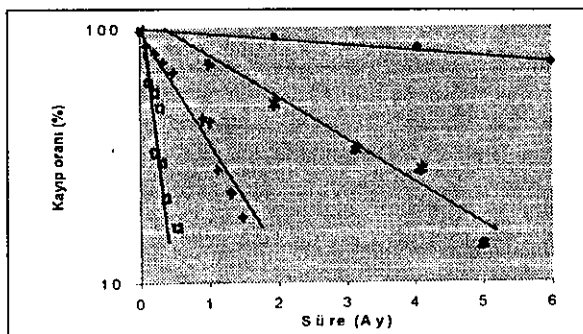
Burada:

$C_0$  : Başlangıç konsantrasyon

$C$  : ( $t$ ) süre sonundaki konsantrasyon

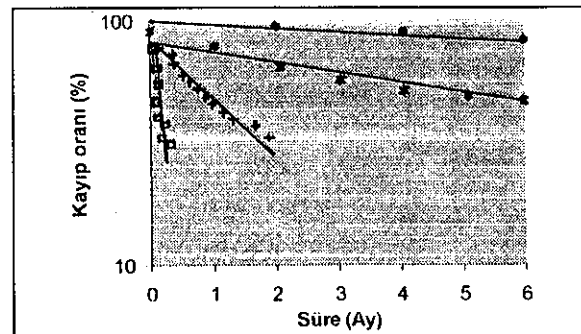
$k$  : Hız konstantı

Antosyanin kayipları logaritmik ıskala, süreler aritmetik ıskalaya olmak üzere, yarı logaritmik bir grafiğe aktarılınca reaksiyonu tanımlayan doğrular elde edilmiştir. Bu bulgu, antosyanimlerin degradasyonunun birinci dereceden kinetike uyduğunu göstermektedir (Şekil 1 ve Şekil 2).



Şekil 1. Çeşitli sıcaklıklarda depolanan 15°Bx nar suyunda antosyanin kaybı

\* : -18°C      \* : 5 °C  
+ : 20°C      □ : 37°C



Şekil 2. Çeşitli sıcaklıklarda depolanan 15°Bx vişne suyunda antosyanin kaybı

\* : -18°C      \* : 5 °C  
+ : 20°C      □ : 37°C

Çeşitli 2 ve 3' de vişne ve nar suyu ve konsantratlarını farklı sıcaklık derecelerinde depolanmasında antosyanin kaybına ilişkin hız konsantatları gösterilmiştir.

$Q_{10}$  ve  $t_{1/2}$  değerleri aşağıdaki eşitliklerle hesaplanmıştır.

$$\log Q_{10} = \frac{10 (\log k_2 - \log k_1)}{T_2 - T_1}$$

$$t_{1/2} = \frac{\ln 0.5}{k}$$

**Çizelge 2. Nar Suyu ve Konsantratlarının Değişik Sıcaklıklarda Depolanmasında Antosianinlerin Degradasyonu İlişkin Kinetik Değerler**

Briks	Sıcaklık (°C)	k ( $10^3$ gün $^{-1}$ )	E <sub>a</sub> (kcal/mol)	K <sub>0</sub> (Gün $^{-1}$ )	Q <sub>10</sub> 20-30°C	37-47°C	t <sub>1/2</sub> (gün)
15°	-18	0.534					1307
	5	12.406					30
	20	35.236	16.6	1.010965x10 <sup>11</sup>	2.7	2.5	22
	37	184.010					5
45°	-18	0.559					1240
	5	10.978	14.5	0.16328x10 <sup>10</sup>	2.3	2.5	76
	20	14.025					51
	37	113.768					6
70°	-18	0.773					914
	5	8.860	14.8	0.347267x10 <sup>10</sup>	2.3	2.1	90
	20	21.440					31
	37	155.453					4

**Çizelge 3. Vişne Suyu ve Konsantratlarının Değişik Sıcaklıklarda Depolanmasında Antosianinlerin Degradasyonuna İlişkin Kinetik Değerler**

Briks	Sıcaklık (°C)	k ( $10^3$ gün $^{-1}$ )	E <sub>a</sub> (kcal/mol)	K <sub>0</sub> (Gün $^{-1}$ )	Q <sub>10</sub> (20-30°C 37-47°C)	t <sub>1/2</sub> (gün)
15°	-18	0.203				3420
	5	3.630				160
	20	17.710	17.5	2.163x10 <sup>11</sup>	2.7 2.43	33
	37	94.423				7
45°	-18	0.311				2199
	5	5.827	17	1.325x10 <sup>11</sup>	2.63 2.38	125
	20	20.888				26
	37	124.592				6
70°	-18	0.223				3103
	5	4.164	17.9	4.414x10 <sup>10</sup>	2.76 2.48	177
	20	19.437				32
	37	111.926				7

Örneklerde bekleniği gibi sıcaklık yükseldikçe, antosianinlerin degradasyon hızları artmaktadır. TANCHEV ve JONCHEVA (1973) tarafından ulaşılmış olan "sıcaklık derecesi arttıkça hız sabitesinin arttığı yönündeki bulgular ile tarafımızdan ulaşılan bulgular paralellik göstermektedir.

Ayrıca antosianinlerin parçalanma reaksiyonunun sıcaklık dercesine bağımlılık düzeyini gösteren diğer faktörler olan aktivasyon enerjisi (E<sub>a</sub>) ve frekans faktörünün (K<sub>0</sub>) hesaplanması amacıyla deney sonuçları Arrhenius grafiğine aktarılmıştır. Arrhenius katsayıları aşağıdaki temel eşitlik yardımıyla hesaplanmıştır.

$$k = K_0 \cdot \exp(-E_a/RT)$$

Burada:

K<sub>0</sub> : Frekans faktörü

E<sub>a</sub> : Aktivasyon enerjisi, cal/mol

R : Gaz konstantı, 1.987 cal/mol. °K

T : Sıcaklık, °K

Şekil 3'de  $15^{\circ}\text{Bx}$  lik örneklerde 4 farklı aralıktan saptanmış olan değerlere ait Arrhenius yerleşimi gösterilmiştir.

Kinetik değerler incelenince bekleniği gibi sıcaklık derecesi yükseldikçe antosianınların degradasyon hızları tüm briks değerlerinde artmaktadır. Ancak vişne örneklerinde dikkati çeken önemli bir nokta,  $45^{\circ}\text{Bx}$ 'lik konsantratlarda her sıcaklıkta saptanan hız konsantatlarının  $15^{\circ}\text{Bx}$  ve  $70^{\circ}\text{Bx}$  de saptanılanlardan daha yüksek olmasıdır bu da  $45^{\circ}\text{Bx}$ 'lik konsantratlarda antosianınların daha az stabil olduğunun göstergesidir.  $T_{1/2}$  değerleri bunu daha somut olarak göstermektedir. Fakat nar sularında  $15^{\circ}\text{Bx}$ 'lik örneklerde  $-18^{\circ}\text{C}$  hariç diğer sıcaklıklarda saptanan hız konstantları,  $45^{\circ}$  ve  $70^{\circ}\text{Bx}$ 'lik konsantratlarda saptanmış olanlardan daha yüksektir.

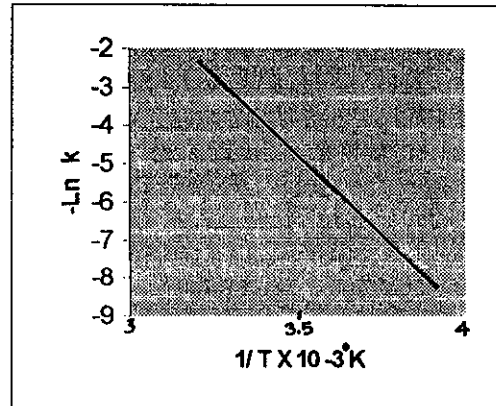
Diğer taraftan 4 farklı sıcaklığındaki deneylerden hesaplanmış olan aktivasyon enerjisini briks derecesine bağlı olmadığı ve bu değerin vişne örneklerinde 17-17.9 kcal/mol arasında değiştiği görülmektedir. Bu durum, farklı briks derecesindeki vişne suyu ve konsantratların depolanmasında sıcaklık derecesindeki değişmenin reaksiyon hızına yaklaşık aynı düzeyde etki ettiğini göstermektedir. Sıcaklığın reaksiyon hızına yansımını gösteren diğer bir ölçüt olan  $Q_{10}$  değerleri bunu daha da somut olarak ifade etmektedir.

Nar suyu ve konsantratlarının depolanmasında antosianınların degradasyonuna ilişkin aktivasyon enerjisi 14-16.6 kcal/mol olarak değişmektedir. Bu değerler vişne suyu ve konsantratlarında bulunmuş olan değerden düşük olmakta birlikte onlara oldukça yakındır. Düşük oluşu dikkate alınınca, bunlarda sıcaklık artışının reaksiyon hızını biraz daha az etkilediği sonucuna varılmaktadır.

Sonuç olarak kinetik değerler, degradasyonun gerçekleştiği ortama ve bu ortamda bulunan çeşitli bileşiklerle bağlıdır. Bu nedenle değişik araştırmalarda antosianınların degradasyonuna ilişkin hız konsantatları birbirlerinden çok farklılık gösterebilmektedir. Bu araştırmada; doğal briksindeki vişne suyu antosianınların konsantratlarda olduğundan daha stabil bulunduğu saptanmıştır. Nar suyunda ise bunun aksine, konsantratlarda daha stabil oldukları görülmektedir.

## KAYNAKLAR

- CEMEROĞLU, B., VELİOĞLU, S. and İŞIK, S., 1994. Degradation Kinetics of Anthocyanins in Sour Cherry Juice and Concentrate. *J. Food Sci.*, 59 (6): 1216-1219.
- DARAVINGAS, G., CAIN, R.F., 1968. Thermal Degradation of Black Raspberry Anthocyanin Pigments in Model Systems. *J. Food Sci.*, 33:138-141.
- DU, C.T., WANG, P.I. and FRANCIS, F.J., 1975. Anthocyanins of Pomegranate, *Punica Granatum*. *J. Food Sci.*, 40:417-418.
- FULEKI, T., FRANCIS, F.J., 1968. Quantitative Methods for Anthocyanins. I Extracition and Determination of Total Anthocyanin in Cranberries. *J. Food Sci.*, 33:72-77.
- MARKAKIS, P., 1982." Stability of Anthocyanin in Food'. Anthocyanins as Food Colors, P. Markakis, (Ed.), P. 163. Academic press. NewYork.
- NEHRING, P., 1969. Über einige Vorgänge bei der Herstellung und Lagerung von Obstzeugnissen mit hohem Zuckergehalt. *Ind. Obst-u. Gemüseverwert.*, 54:599-630.
- TANCHEV, S.S., JONCHEVA, N., 1973. Kinetics of the Thermal Degradation of Cyanidin-3-rutinoside and Peonidin-3-rutinoside. *Z. Lebensm. Unters. Forsch.*, 153:37-41.
- TOLEDO, R.T., 1986. Postprocessing Changes in Aceptically Packed Beverages. *J. Agric. Food Chem.*, 34:405-408
- TSUDA, T., WATANABE., M., KATSUNU, O., NORINOBU, S., CHOI, S.W., KAWAKISHI, S. and OSAWA, T., 1994 Antioxidative Actioxidative Activity of the Anthocyanin pigments Cyanidin 3- $\beta$ - D-glucoside and Cyanidin. *J. Agric. Food Chem.*, 42: 2407-2410.
- WROLSTAD, R.E. 1976. Color and Pigment Analyses in Fruit Produts. Station Bulletin 624, Agricultural Experiment Station, Oregon State University, Corvalis, p.17.



Şekil 3. Vişne suyunda ( $15^{\circ}\text{Bx}$ ) antosianınların degradasyonun arrhenius grafiği